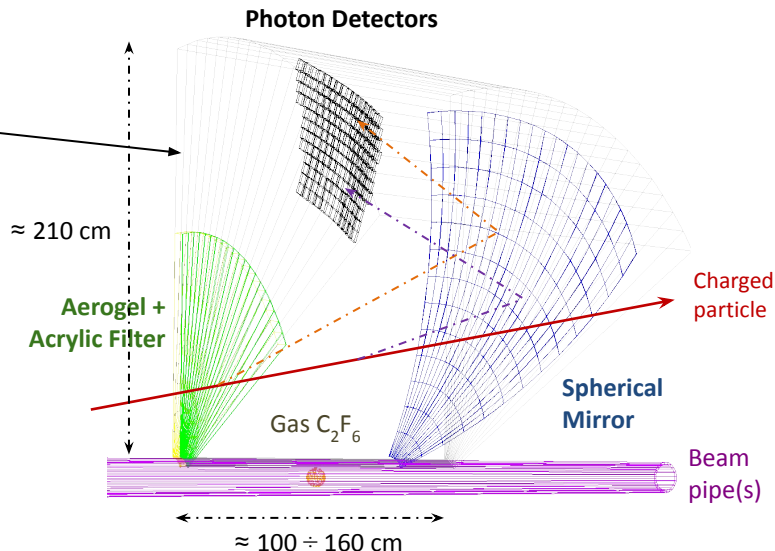
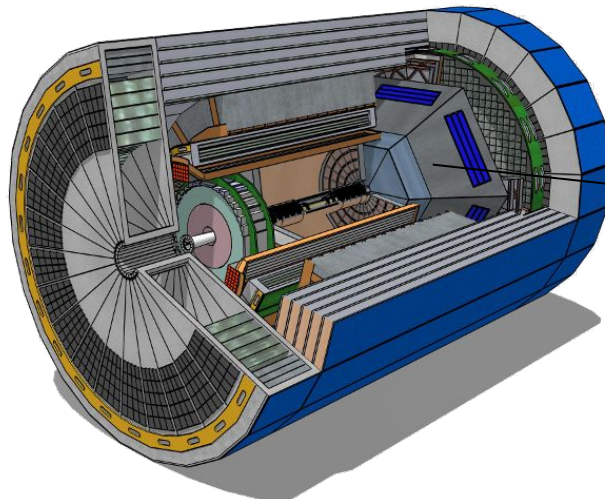


Status R&D e richieste SiPM + ALCOR

Roberto Preghenella

The dual-radiator (dRICH) for forward PID

compact and cost-effective solution for broad momentum coverage at forward rapidity



- **radiators:** aerogel ($n \sim 1.02$) and C_2F_6 ($n \sim 1.0008$)
- **mirrors:** large outward-reflecting, 6 open sectors
- **sensors:** 3x3 mm² pixel, 0.5 m² / sector
 - ~ 3m² surface with photosensors (~ 300 k channels)
 - single-photon detection inside high B field (~ 1 T)
 - outside of acceptance, reduced constraints

explore SiPM readout option

SiPM option for RICH optical readout



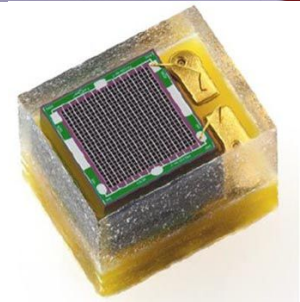
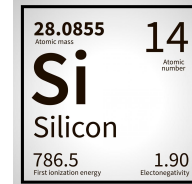
- **pros**

- cheap
- high photon efficiency
- excellent time resolution
- insensitive to magnetic field

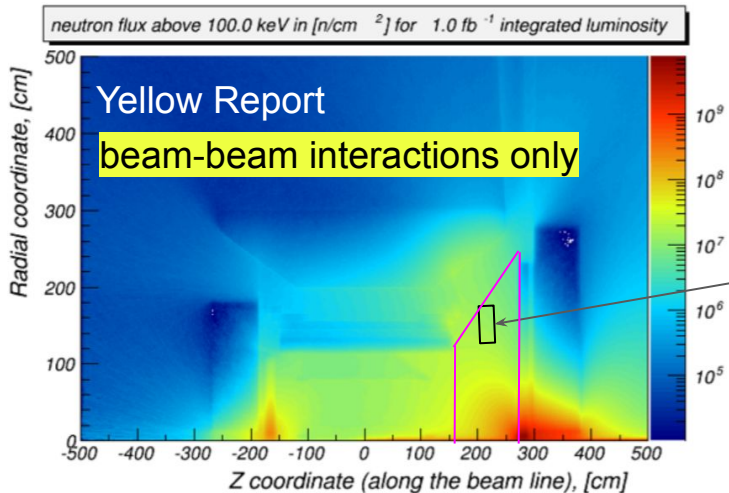


- **cons**

- large dark count rates
- not radiation tolerant



Neutron fluxes and SiPM radiation damage



Most of the key physics topics discussed in the EIC White Paper [2] are achievable with an integrated luminosity of 10 fb^{-1} corresponding to 30 weeks of operations. One notable exception is studying the spatial distributions of quarks and gluons in the proton with polarized beams. These measurements require an integrated luminosity of up to 100 fb^{-1} and would therefore benefit from an increased luminosity of $10^{34} \text{ cm}^{-2} \text{ sec}^{-1}$.

possible location of dRICH photosensors

neutron fluence for $1 \text{ fb}^{-1} \rightarrow 1\text{-}5 \cdot 10^7 \text{ n/cm}^2$ ($> 100 \text{ keV} \sim 1 \text{ MeV } n_{\text{eq}}$)

- radiation level is moderate
- magnetic field is high(ish)

R&D on SiPM as potential photodetector for dRICH, main goal
study SiPM usability for Cherenkov up to $10^{11} \text{ 1-MeV } n_{\text{eq}}/\text{cm}^2$

notice that $10^{11} n_{\text{eq}}/\text{cm}^2$ would correspond to $2000\text{-}10000 \text{ fb}^{-1}$ integrated \mathcal{L}
quite a long time of EIC running before we reach there, if ever
it would be between 6-30 years of continuous running at $\mathcal{L} = 10^{34} \text{ s}^{-1} \text{ cm}^{-2}$

→ better do study in smaller steps of radiation load

$10^9 \text{ 1-MeV } n_{\text{eq}}/\text{cm}^2$

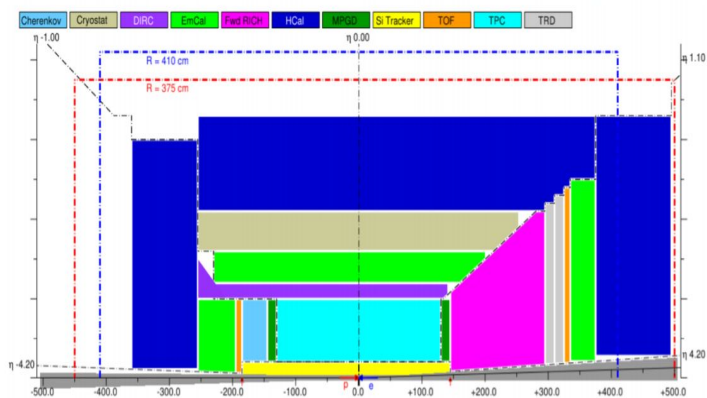
most of the key physics topics

$10^{10} \text{ 1-MeV } n_{\text{eq}}/\text{cm}^2$

should cover most demanding measurements

$10^{11} \text{ 1-MeV } n_{\text{eq}}/\text{cm}^2$

possibly never reached



SiPM radiation damage and mitigation strategies

Radiation damages increase currents, affects V_{bd} and increase DCR

With very high radiation loads can bring to baseline loss, but...

does not seem to be a problem up to $10^{11} \text{ n}_{\text{eq}}/\text{cm}^2$ (if cooled, T = -30 C)

If the baseline is healthy, single-photon signals can be detected
one can work on reducing the DCR with following mitigation strategies:

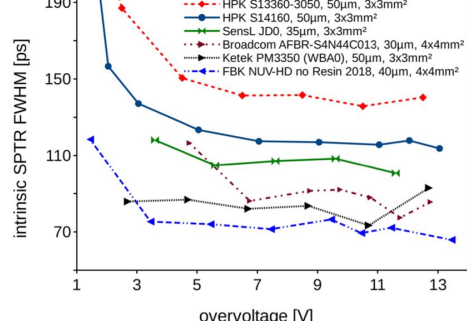
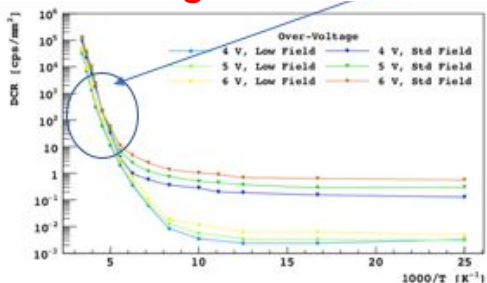
- Reduce operating temperatures (**cooling**)
 - Use **timing**
 - High-temperature **annealing** cycles

Key point for R&D on RICH optical readout with SiPM:

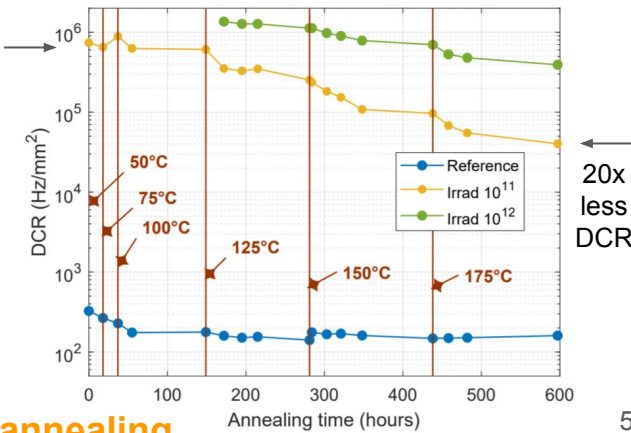
- demonstrate capability to measure Single Photon
 - keep DCR under control (ring imaging background)

despite radiation damages

cooling



timing



annealing

5

stato R&D

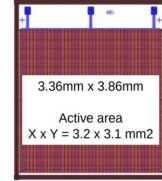
[Garutti et al] Due to the increased DCR, the single photoelectron separation from noise is lost already at relatively low fluences $\Phi_{eq} \sim 10^{10} \text{ cm}^{-2}$. This limit depends on many factors related to the SiPM design and the operation conditions, so it should be tested for each specific application.

- **acquired SiPM samples**
 - from different manufacturers
 - and of different types
- **developed electronic boards**
 - SiPM carrier boards
 - adapter boards
 - ASIC readout board
- **irradiation campaign(s)**
 - with proton beams
 - increasing NIEL: 10^9 10^{10} and 10^{11} neq
- **high-temperature annealing**
 - with industrial oven
 - up to $T = 150$ C
 - exploring alternative solutions
- **characterisation and operation**
 - low temperature operation
 - I-V characterisation
 - DCR and signal sampling
 - readout with ALCOR ASIC
 - pulsed LED light response

Commercial SiPM sensors and FBK prototypes

board	sensor	uCell (μm)	V_{bd} (V)	PDE (%)	DCR (kHz/mm ²)	window	notes
HAMA1	S13360 3050VS	50	53	40	55	silicone	legacy model Calvi et. al
	S13360 3025VS	25	53	25	44	silicone	legacy model smaller SPAD
HAMA2	S14160 3050HS	50	38	50		silicone	newer model lower V_{bd}
	S14160 3015PS	15	38	32	78	silicone	smaller SPADs radiation hardness
SENSL	MICROFJ 30035	35	24.5	38	50	glass	different producer and lower V_{bd}
	MICROFJ 30020	20	24.5	30	50	glass	the smaller SPAD version
BCOM	AFBR S4N33C013	30	27	43	111	glass	commercially available FBK-NUVHD

NUV-HD-CHK



NUV-HD big cells

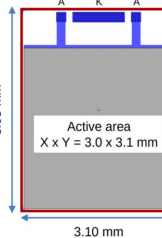
Technology similar to NUV-HD-Cryo
Optimized for single photon timing

- Cell pitch 40 μm
- High PDE > 55%
- Primary DCR @ +24°C ~ 50 kHz/mm²
- Correlated noise 35% @ 6 V

October 5, 2020

FBK - Confidential

NUV-HD-RH



NUV-HD-RH

Technology under development optimized for radiation hardness in HEP experiments

- Cell pitch 15 μm with high fill factor
- Fast recovery time – reduced cell occupancy
- Tau recharge < 15 ns
- Primary DCR @ +24°C ~ 40 kHz/mm²
- Correlated noise 10% @ 6 V

October 5, 2020

FBK - Confidential

ON Semiconductor

BROADCOM

IRIS INSTITUTE FOR RADIATION AND IMAGE SCIENCE

multiple producers: different technologies, SPAD dimensions, V_{bd} , electric field ...

SiPM custom carrier boards

8x4 matrices with commercial Hamamatsu



6x4 matrices with prototype FBK sensors



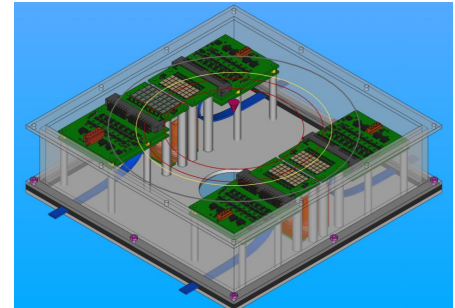
high-density edge connector

high-T grade FR4 for annealing up to 180 °C

temperature sensor for operation with Peltier cooling

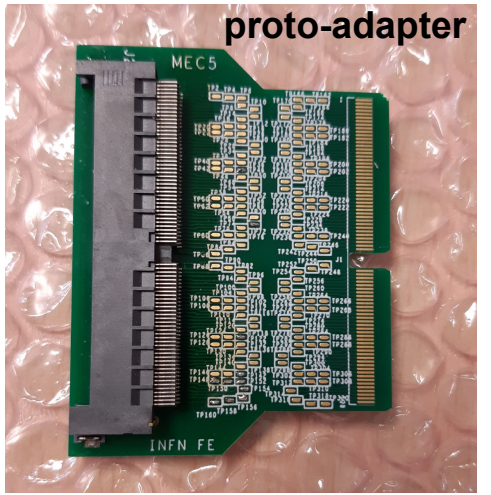
many metallic vias for heat conductivity (Peltier cooling from the back)

prototype SiPM readout box

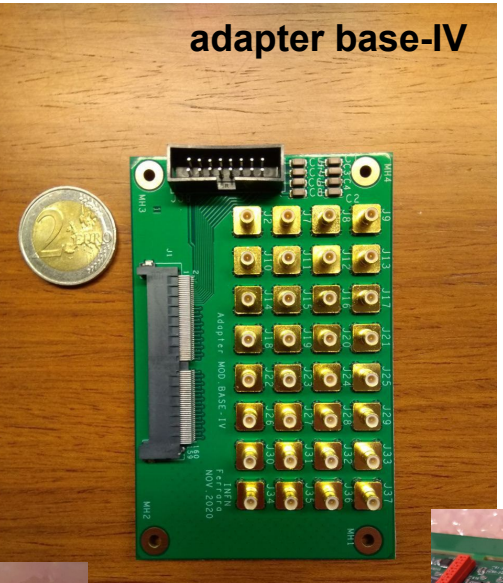


withstand irradiation, high-T annealing and low-T operation in form-factor usable in beam tests

Other electronics developed



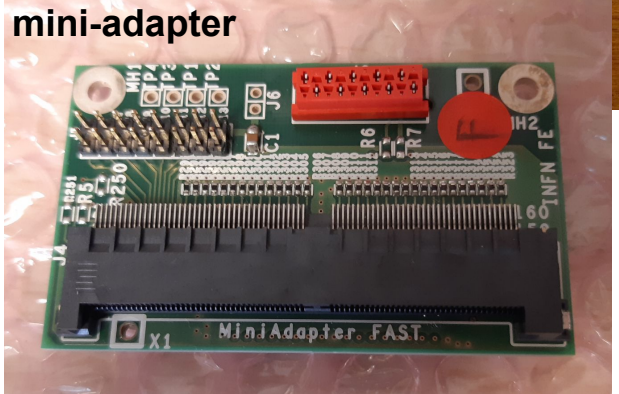
proto-adapter



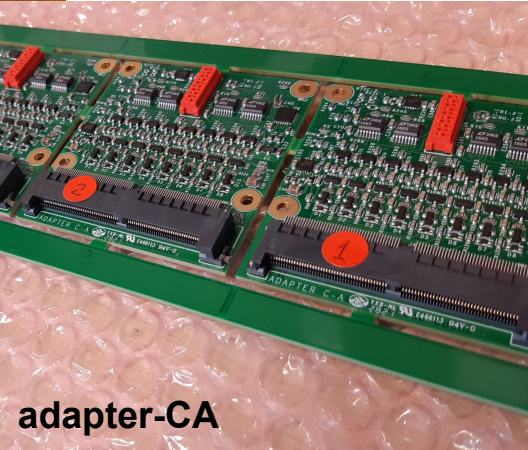
adapter base-IV



flex-adapter



mini-adapter



adapter-CA

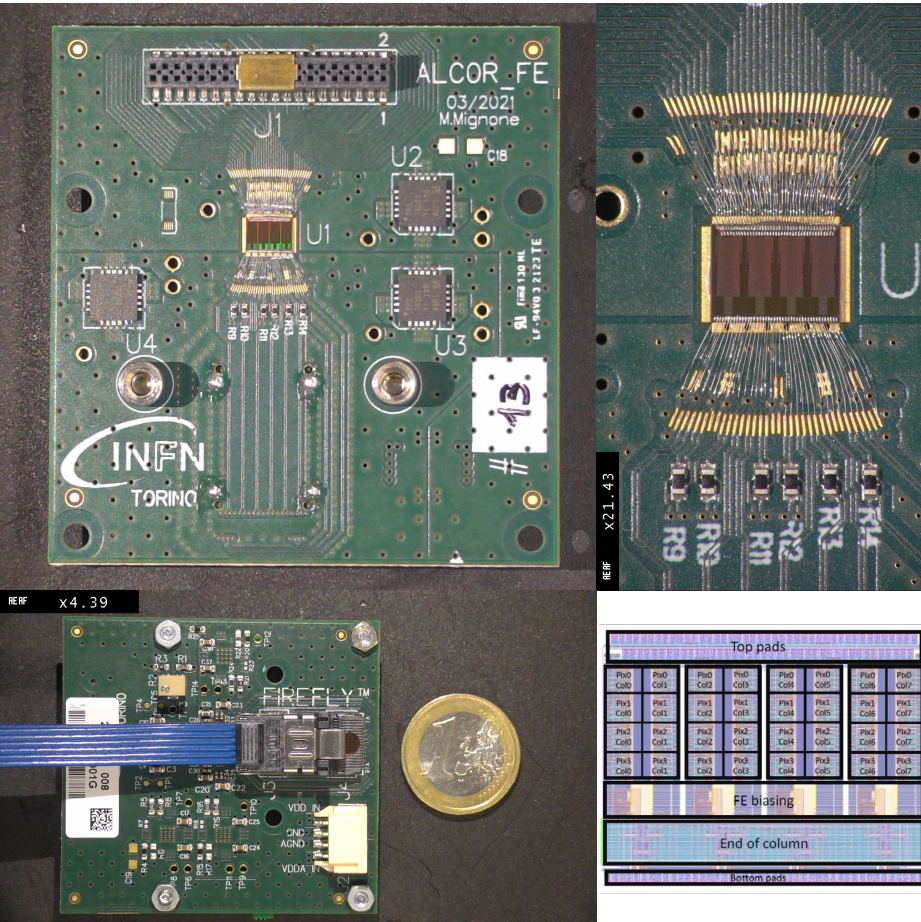
and more...

ALCOR: A Low Power Chip for Optical sensor Readout

developed by INFN-T0 for DarkSide

- 32-pixel matrix mixed-signal ASIC
- the chip performs
 - signal amplification
 - conditioning and event digitisation
- each pixel features
 - dual-polarity front-end amplifier
 - low input impedance
 - 4 programmable gain settings
 - 2 leading-edge discriminators
 - 4 TDCs based on analogue interpolation
 - 50 ps LSB (@ 320 MHz)
- single-photon time-tagging
 - also with Time-Over-Threshold
- fully digital output
 - 4 LVDS TX data links

updated (v2)
ALCOR chip
submitted to
foundry

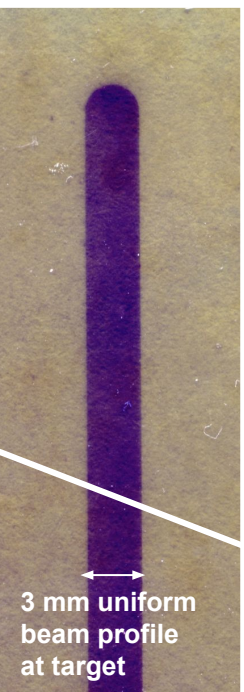
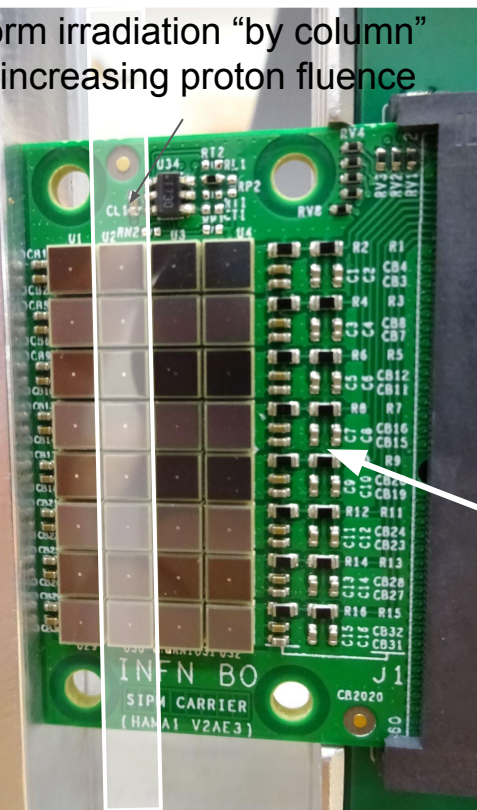


Irradiation at Trento Proton-Therapy hall (TIFPA)

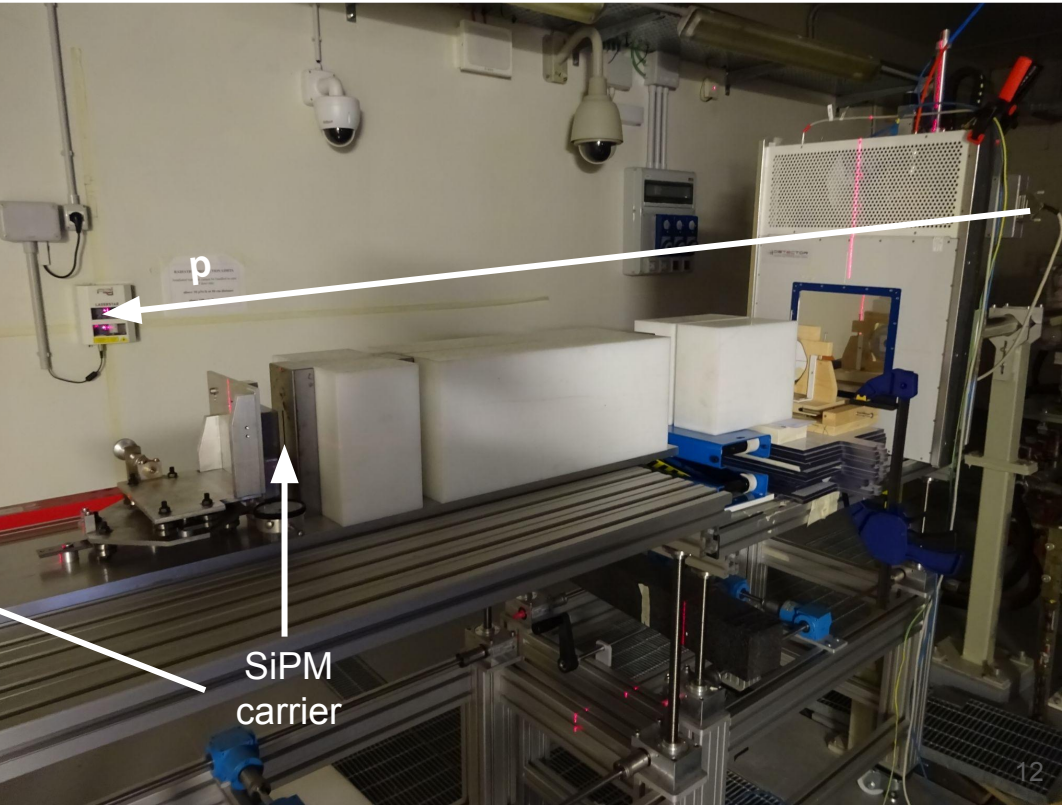
3x3 mm² SiPM sensors
4x8 "matrix" (carrier board)

multiple types of SiPM: **Hamamatsu** commercial (13360 and 14160)
FBK prototypes (rad.hard and timing optimised)

uniform irradiation "by column"
with increasing proton fluence



148 MeV protons → scattering system → collimation system → carrier board



2022 irradiation strategy and status



test SiPM performance and annealing with increasing integrated NIEL

simulate a more realistic experimental situation

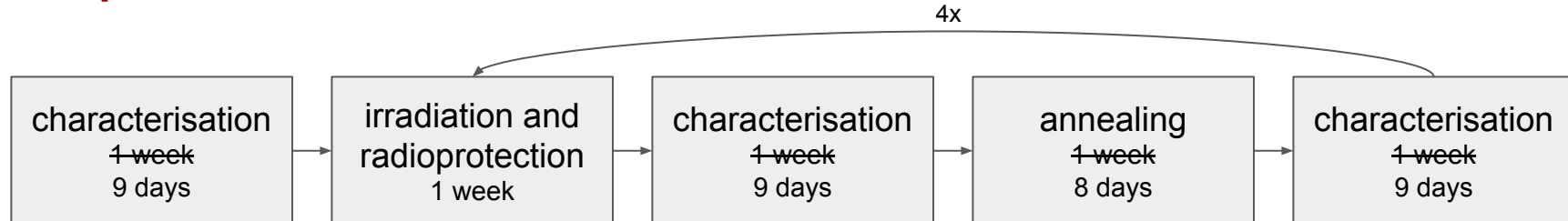
irradiate full SiPM carrier boards with flat proton field

no collimators, this will make life much easier and very efficient use of beam

- **3 2 short accesses at TN protontherapy centre (TIFPA) in spring / summer**

- ideally 4 hours on Saturdays, should be sufficient time to setup and fire the beam
- ~~tentative dates: 23 April, 28 May and 2 July~~ actual dates: 4 June, 16 July
- one access every 4-6 weeks: allow time for radioprotection, characterisation and annealing
- small NIEL integration steps: $1 \text{ } 10^9$

- **plus 1 2 more accesses in fall: tentative dates 5 Nov ($1 \text{ } 10^9$) and 3 Dec ($2 \text{ } 10^9$)**



characterisation
(Bologna)

annealing
(Ferrara)

irradiation (TIFPA)

	May			Jun			Jul			Aug			Sep			Oct			Nov			Dec		
	Holy	BO	FE																					
1																								
2																								
3																								
4																								
5																								
6																								
7																								
8																								
9																								
10																								
11																								
12																								
13																								
14																								
15																								
16																								
17																								
18																								
19																								
20																								
21																								
22																								
23																								
24																								
25																								
26																								
27																								
28																								
29																								
30																								
31																								

2 sessions ~ completed

pause / test-beam

conclude

	May	Jun	Jul	Aug	Sep	Oct	Nov	Dec
1	Holy	BO	FE	Holy	LED	Holy	Holy	Holy
2				LED	ANN			
3				LED	ANN			
4				LED	ANN			
5				LED	ANN			
6				LED	ANN			
7				LED	ANN			
8				LED	ANN			
9				LED	ANN			
10				LED	ANN			
11				LED	ANN			
12				LED	ANN			
13				LED	ANN			
14				LED	ANN			
15				LED	ANN			
16				LED	ANN			
17				LED	ANN			
18				LED	ANN			
19				LED	ANN			
20				LED	ANN			
21				LED	ANN			
22				LED	ANN			
23				LED	ANN			
24				LED	ANN			
25				LED	ANN			
26				LED	ANN			
27				LED	ANN			
28				LED	ANN			
29				LED	ANN			
30				LED	ANN			
31				LED	ANN			

	May	Jun	Jul	Aug	Sep	Oct	Nov	Dec
1	Holy	BO	FE	Holy	IV	Holy	Holy	Holy
2				IV	ANN			
3				IV	ANN			
4				IV	ANN			
5				IV	ANN			
6				IV	ANN			
7				IV	ANN			
8				IV	ANN			
9				IV	ANN			
10				IV	ANN			
11				IV	ANN			
12				IV	ANN			
13				IV	ANN			
14				IV	ANN			
15				IV	ANN			
16				IV	ANN			
17				IV	ANN			
18				IV	ANN			
19				IV	ANN			
20				IV	ANN			
21				IV	ANN			
22				IV	ANN			
23				IV	ANN			
24				IV	ANN			
25				IV	ANN			
26				IV	ANN			
27				IV	ANN			
28				IV	ANN			
29				IV	ANN			
30				IV	ANN			
31				IV	ANN			

	May	Jun	Jul	Aug	Sep	Oct	Nov	Dec
1	Holy	BO	FE	Holy	IV	Holy	Holy	Holy
2				IV	ANN			
3				IV	ANN			
4				IV	ANN			
5				IV	ANN			
6				IV	ANN			
7				IV	ANN			
8				IV	ANN			
9				IV	ANN			
10				IV	ANN			
11				IV	ANN			
12				IV	ANN			
13				IV	ANN			
14				IV	ANN			
15				IV	ANN			
16				IV	ANN			
17				IV	ANN			
18				IV	ANN			
19				IV	ANN			
20				IV	ANN			
21				IV	ANN			
22				IV	ANN			
23				IV	ANN			
24				IV	ANN			
25				IV	ANN			
26				IV	ANN			
27				IV	ANN			
28				IV	ANN			
29				IV	ANN			
30				IV	ANN			
31				IV	ANN			

	May	Jun	Jul	Aug	Sep	Oct	Nov	Dec
1	Holy	BO	FE	Holy	IV	Holy	Holy	Holy
2				IV	ANN			
3				IV	ANN			
4				IV	ANN			
5				IV	ANN			
6				IV	ANN			
7				IV	ANN			
8				IV	ANN			
9				IV	ANN			
10				IV	ANN			
11				IV	ANN			
12				IV	ANN			
13				IV	ANN			
14				IV	ANN			
15				IV	ANN			
16				IV	ANN			
17				IV	ANN			
18				IV	ANN			
19				IV	ANN			
20				IV	ANN			
21				IV	ANN			
22				IV	ANN			
23				IV	ANN			
24				IV	ANN			
25				IV	ANN			
26				IV	ANN			
27				IV	ANN			
28				IV	ANN			
29				IV	ANN			
30				IV	ANN			
31				IV	ANN			

	May	Jun	Jul	Aug	Sep	Oct	Nov	Dec
1	Holy	BO	FE	Holy	IV	Holy	Holy	Holy
2				IV	ANN			
3				IV	ANN			
4				IV	ANN			
5				IV	ANN			
6				IV	ANN			
7				IV	ANN			
8				IV	ANN			
9				IV	ANN			

2022 irradiation strategy and annealing

- **keep irradiation simple**

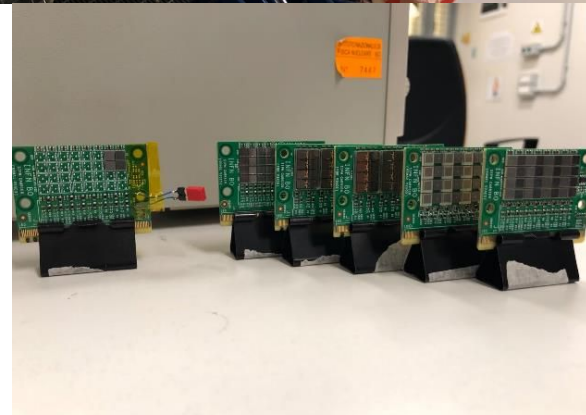
- large uniform irradiation field
 - no collimators
- proton flux at location $\sim 5.5 \cdot 10^5 \text{ cm}^{-2} \text{ s}^{-1} \text{ nA}^{-1}$
 - typical irradiation: 14 nA for ~ 120 s
- bare boards with poor-man supports
 - one board at a time

- **beam time (4 hours slots)**

- fast beam setup thanks to experience of last year
 - sufficient time for nominal irradiation studies
 - remaining beam time utilised for exploratory study
“annealing by Joule effect with direct bias current”

- **annealing in the oven**

- Temperature = 150 C
- Time = 150 hours



Current measurements

- **climatic chamber**

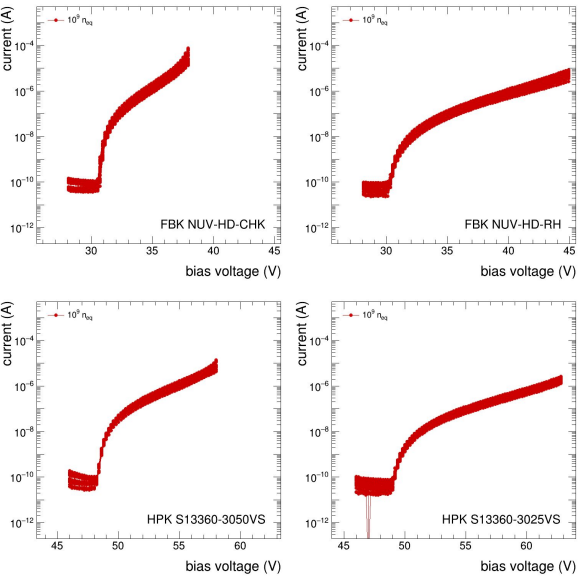
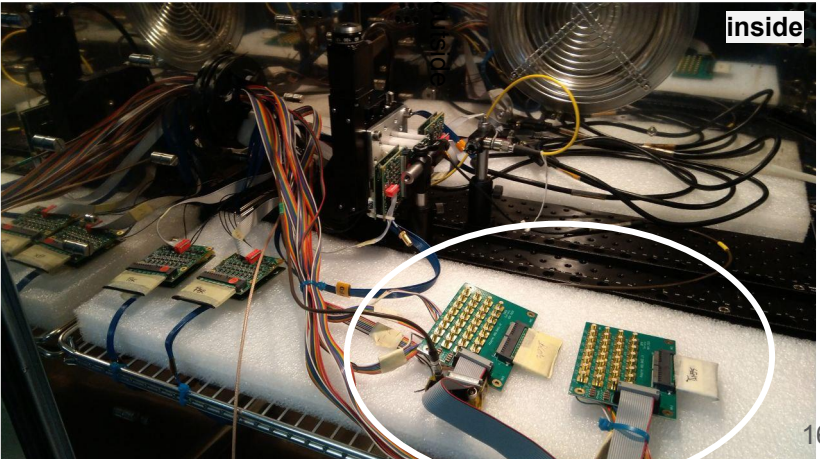
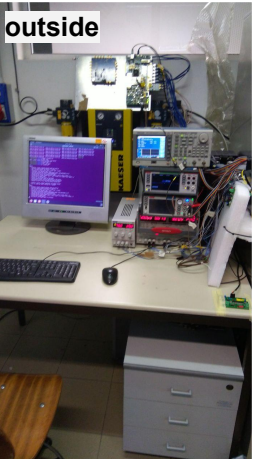
low-temperature operation

all reported measurements at $T = -30^\circ\text{C}$

- **2x 40-channel multiplexers**

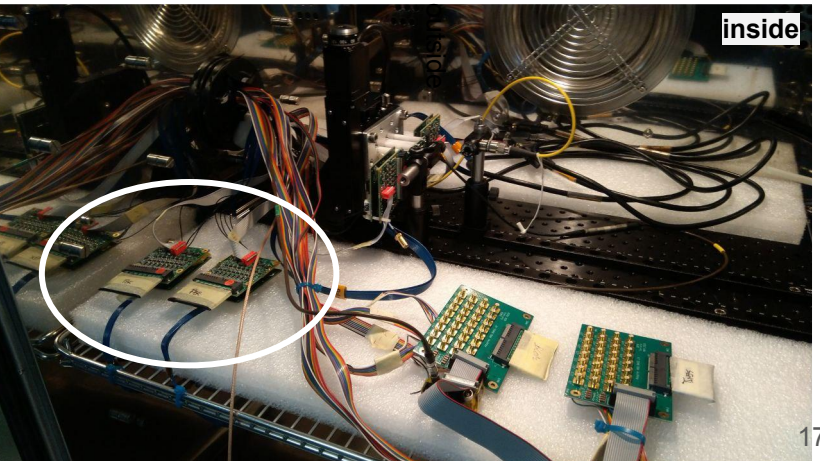
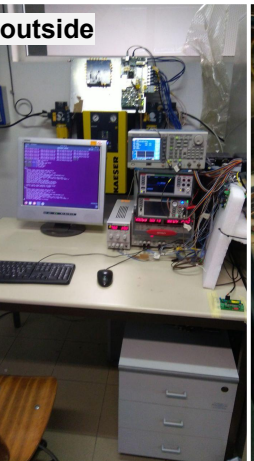
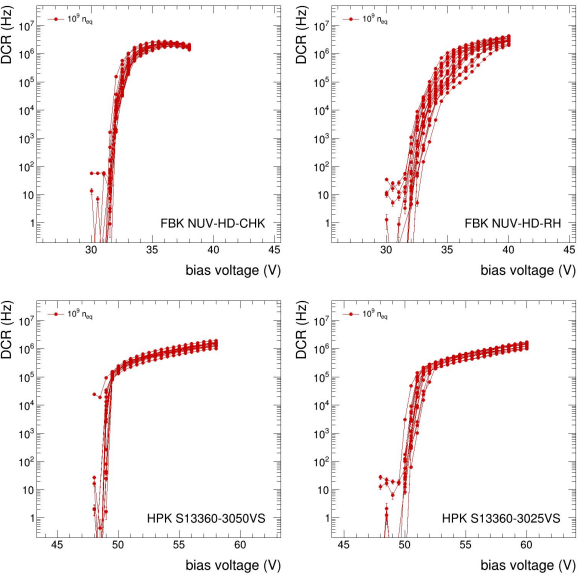
automatic measurement of 2x SiPM boards (64 channels)

- **source meter**

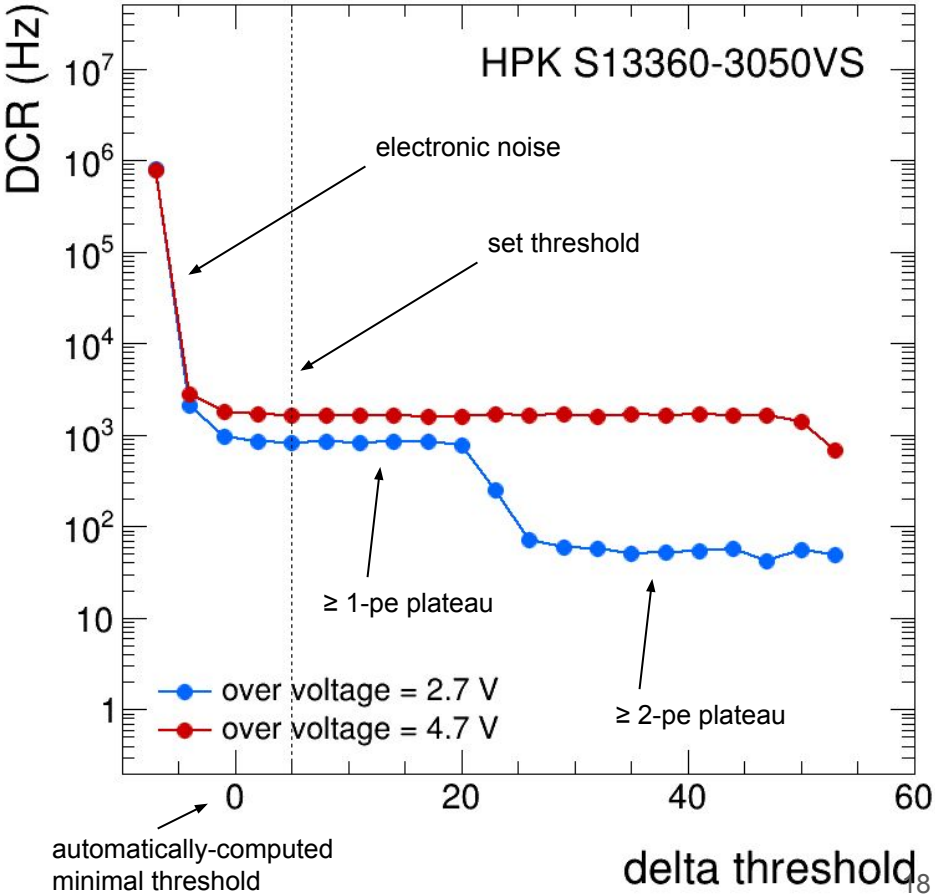
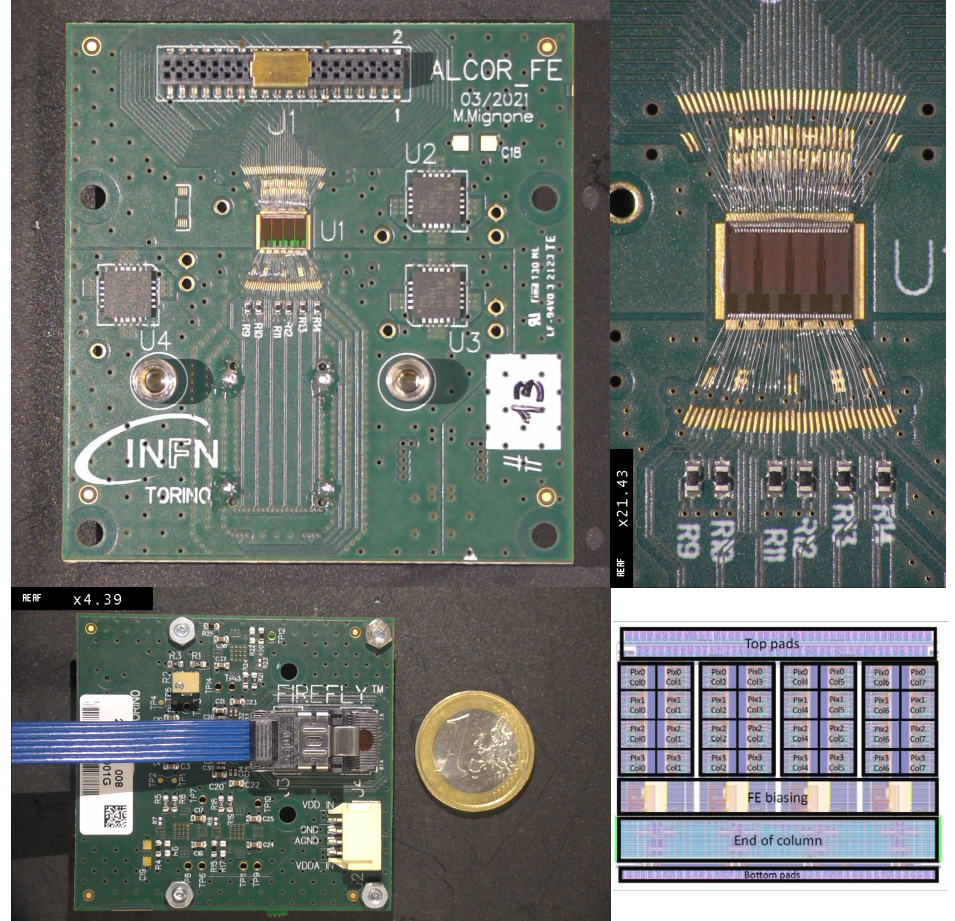


DCR measurements

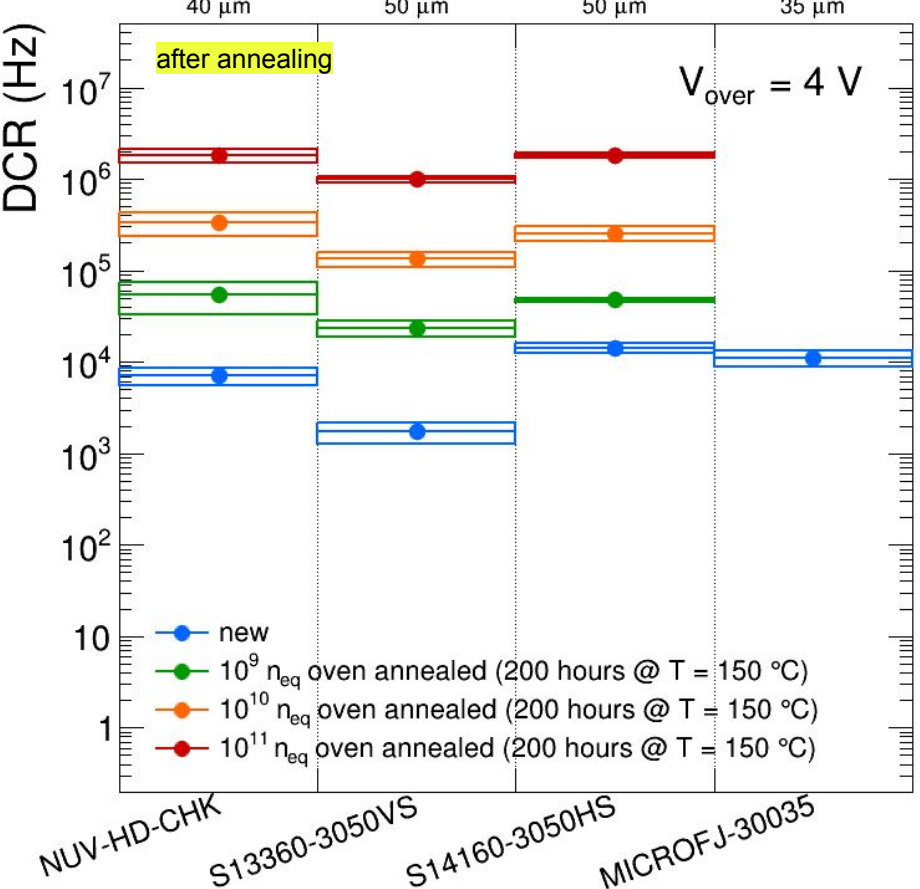
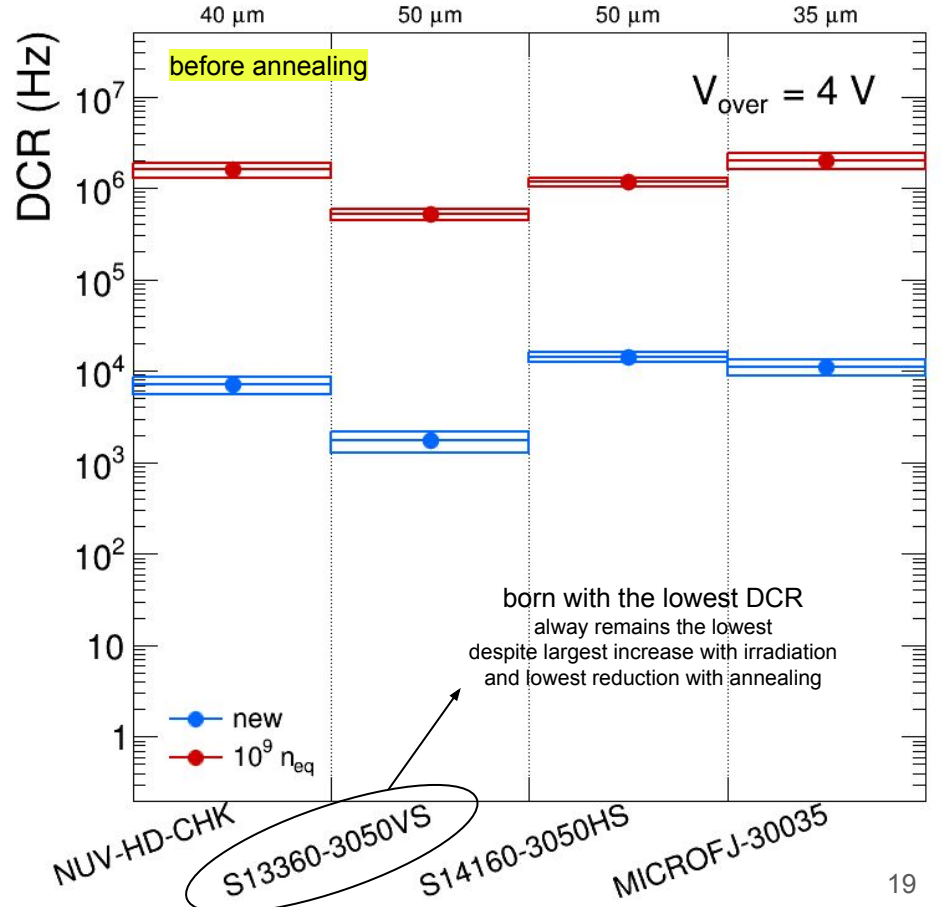
- **climatic chamber**
low-temperature operation
all reported measurements at $T = -30\text{ }^{\circ}\text{C}$
- **2x ALCOR-based front-end chain**
automatic measurement of 2x SiPM boards (64 channels)
- **FPGA (Xilinx) readout**

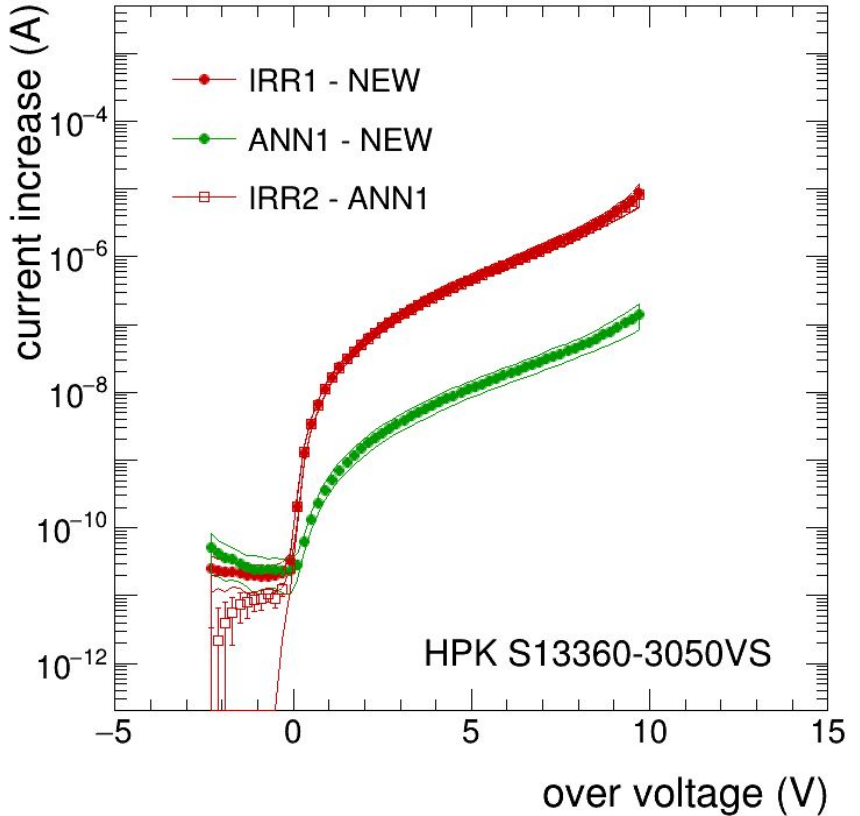


Photon counting with ALCOR readout

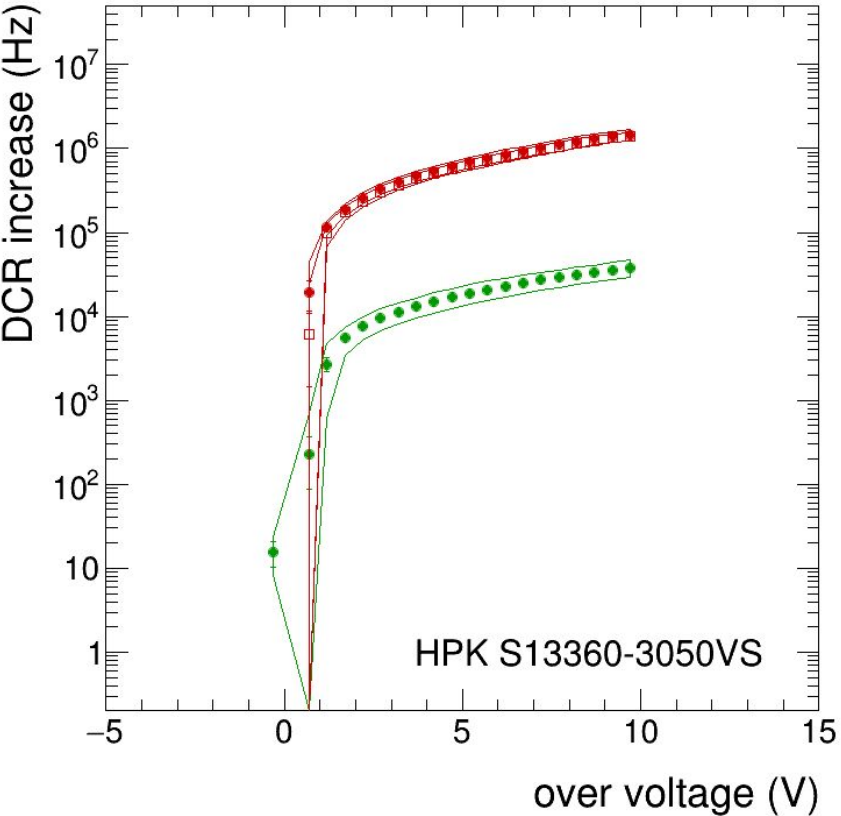


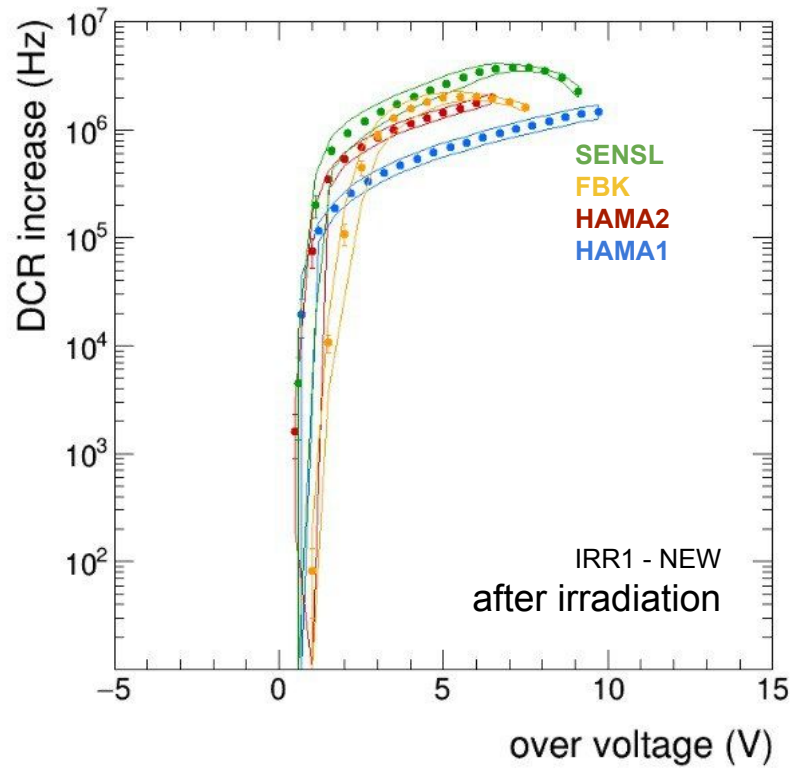
DCR after irradiation and annealing



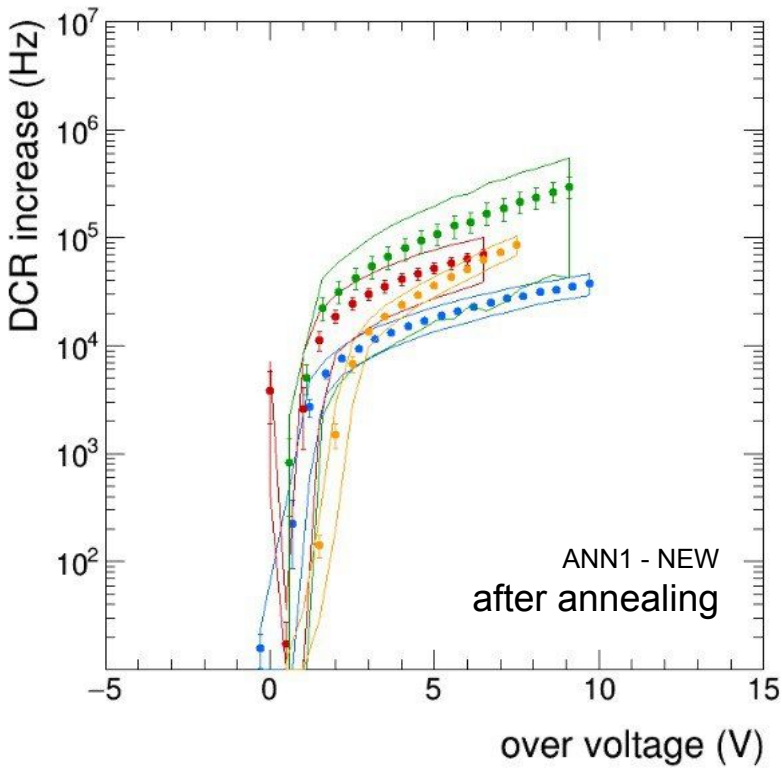


DCR (@ $V_{over} = 3$ V) increases by ~ 350 kHz after each 10^9 neq shot
residual DCR excess (@ $V_{over} = 3$ V) of ~ 10 kHz after annealing





IRR1 - NEW
after irradiation



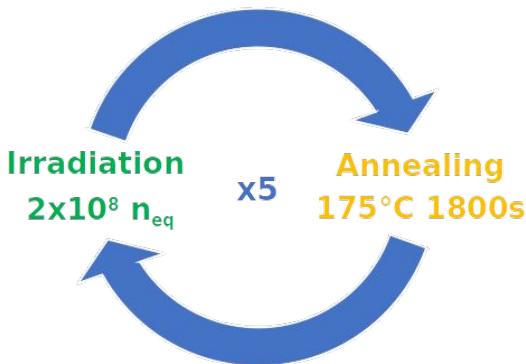
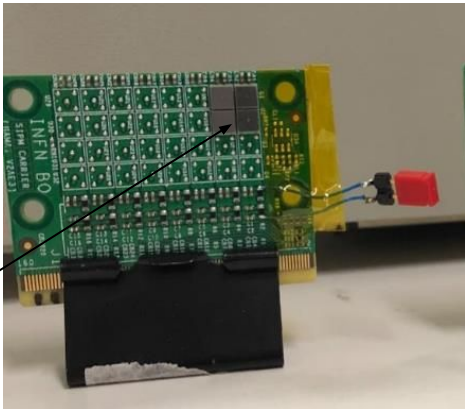
ANN1 - NEW
after annealing

Hamamatsu S13360-3050 (HAMA1) is always the best with lowest DCR when new, increase with NIEL, residual after annealing



Online annealing

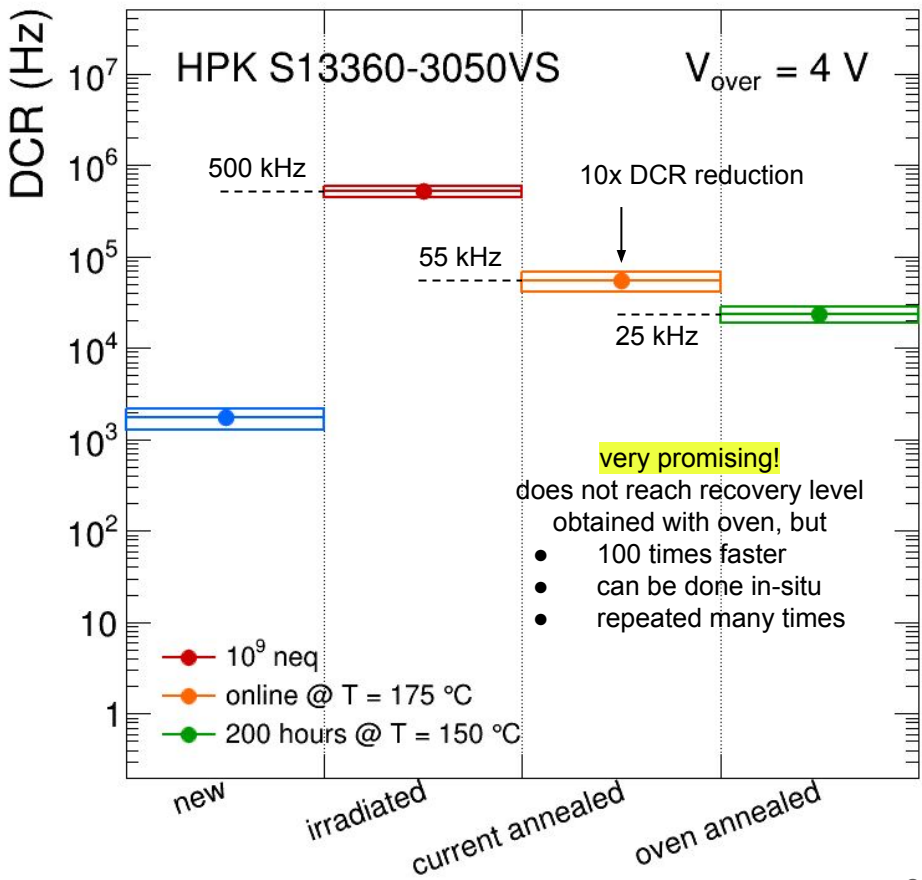
exploratory study within 2022 irradiation campaign
extremely promising results (see next slides)
needs to become a structured R&D program for 2023

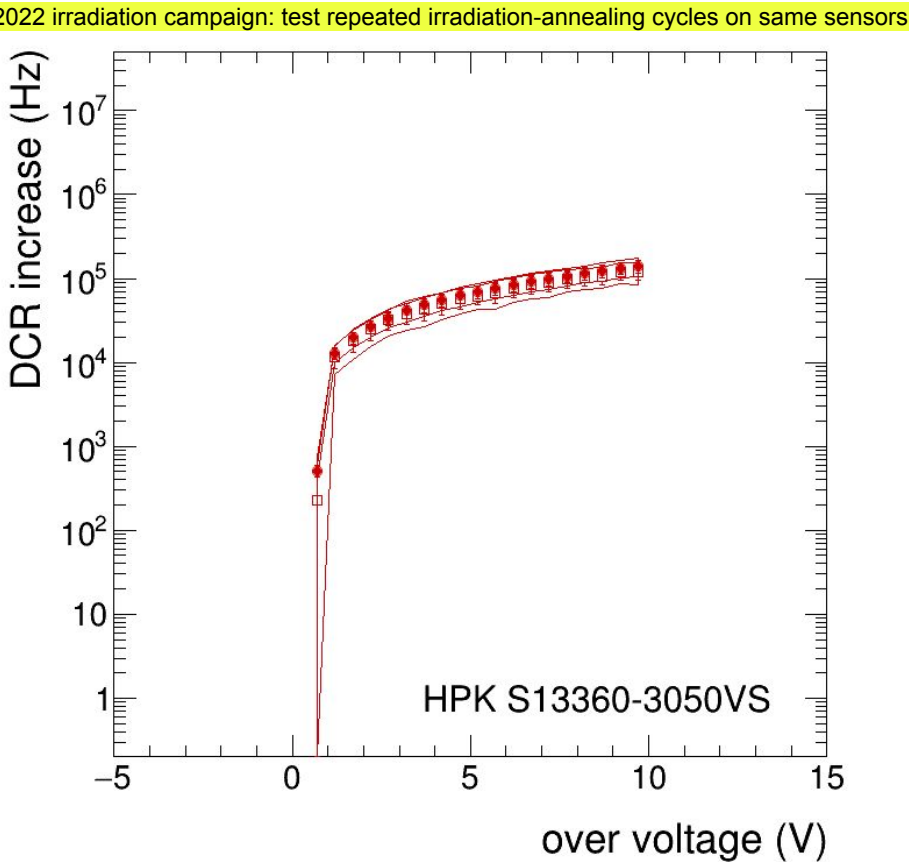
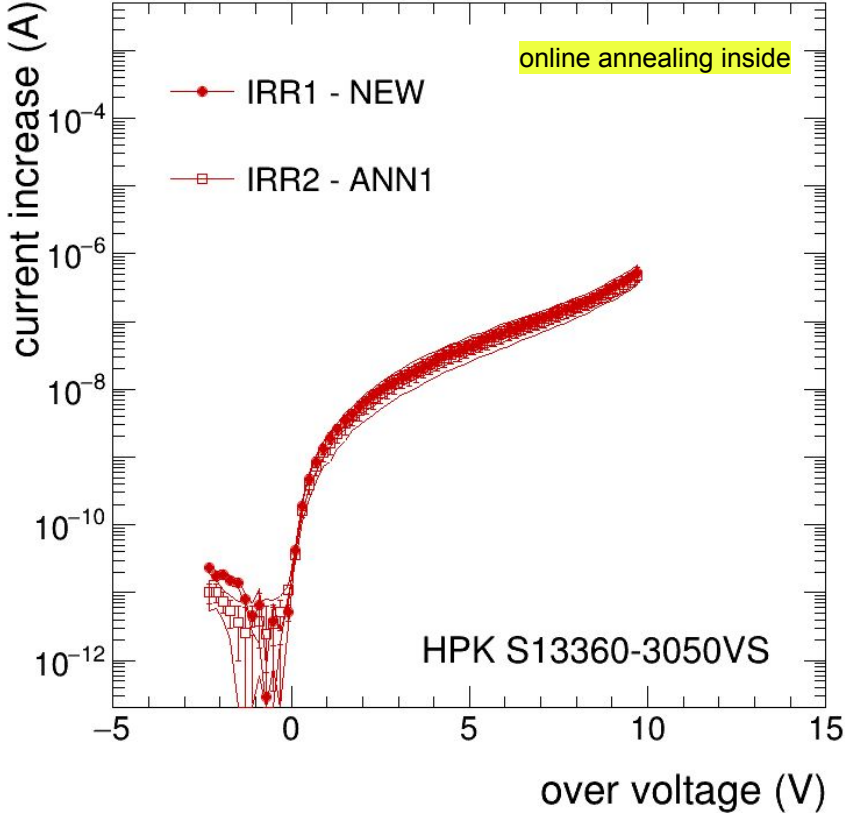


explore solutions for in-situ annealing

- total fluence of $10^9 n_{eq}$
 - delivered in 5 chunks
 - each of $2 \cdot 10^8 n_{eq}$
- interleave by annealing
 - forward bias, $\sim 1 \text{ W} / \text{sensor}$
 - $T = 175 \text{ }^\circ\text{C}$, thermal camera
 - 30 minutes
- preliminary tests
 - Hamamatsu S13360-3050

Online annealing



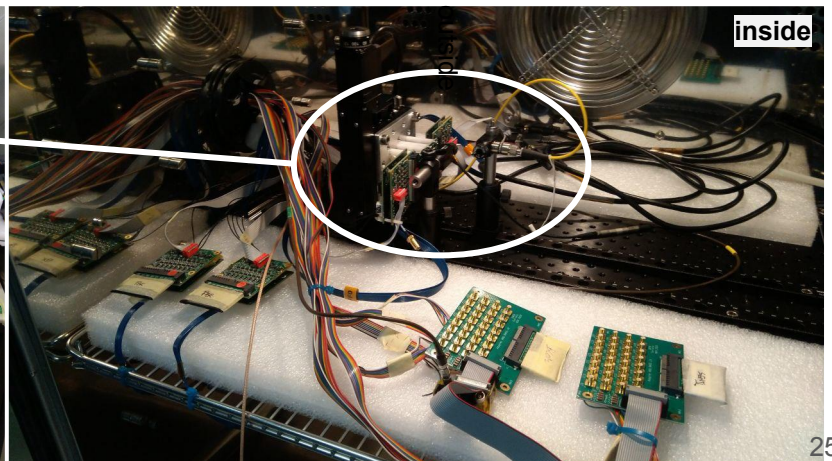
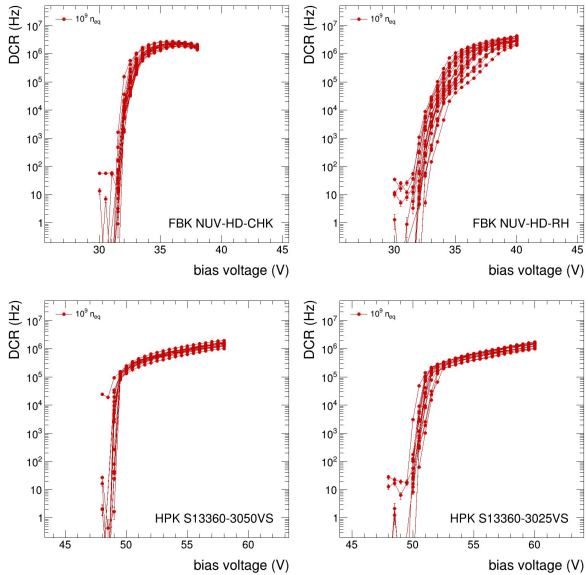
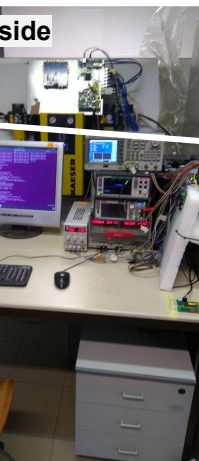
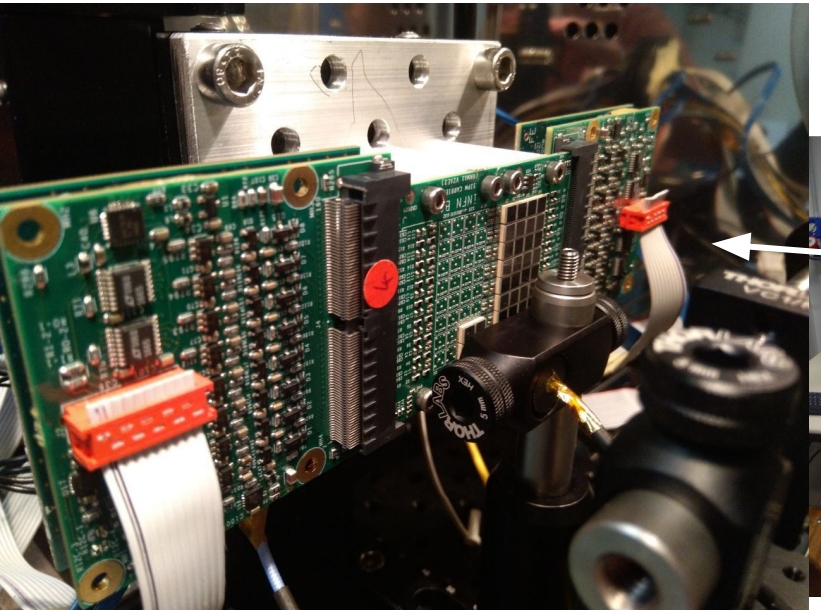


DCR (@ $V_{over} = 3$ V) increases by ~ 35 kHz after each 10^9 neq shot
memo: it was 350 kHz without online annealing

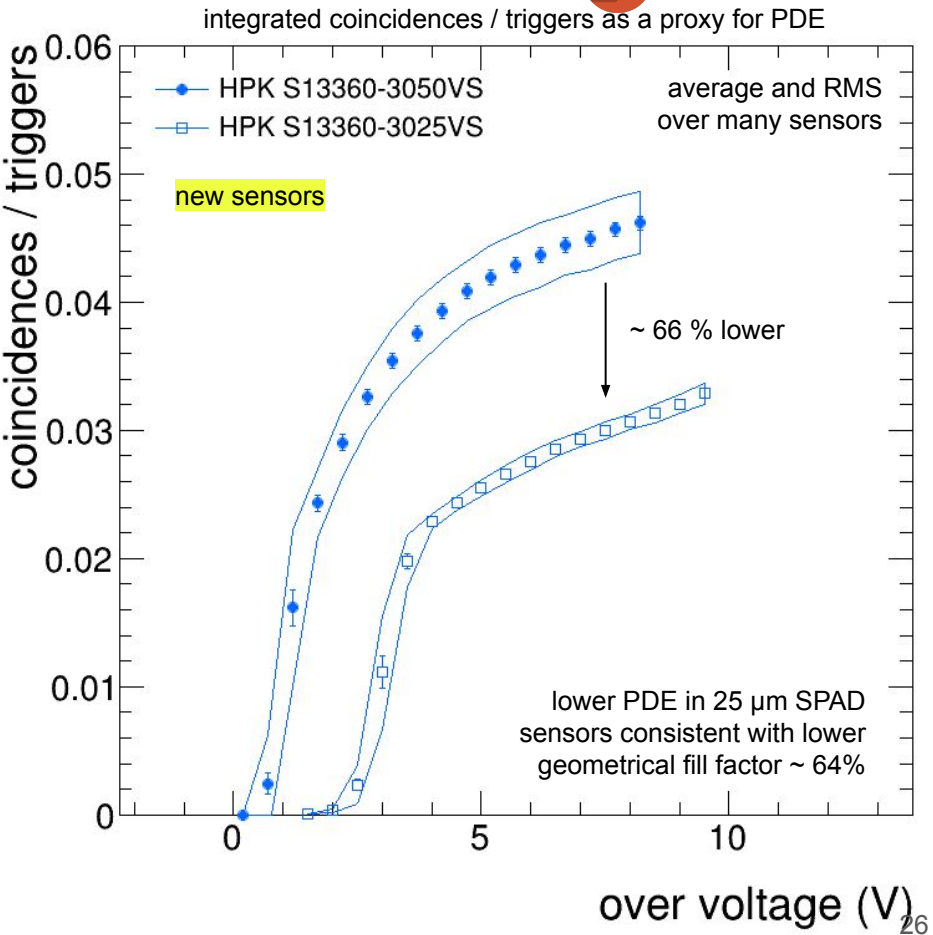
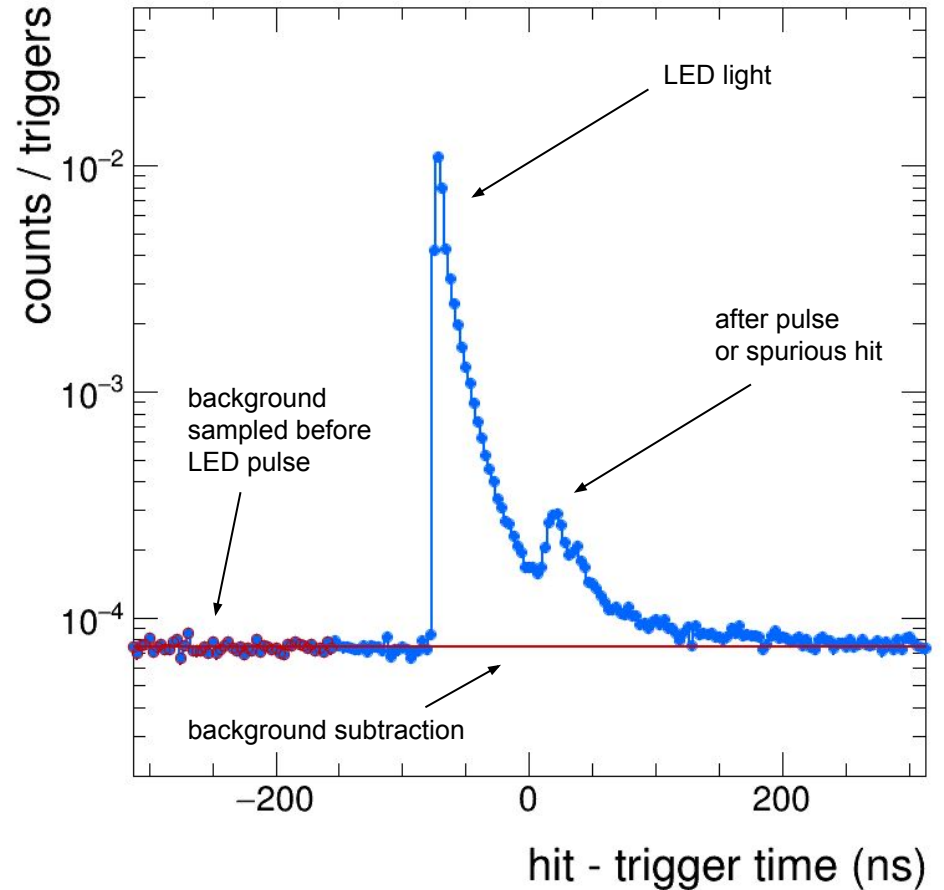


LED measurements

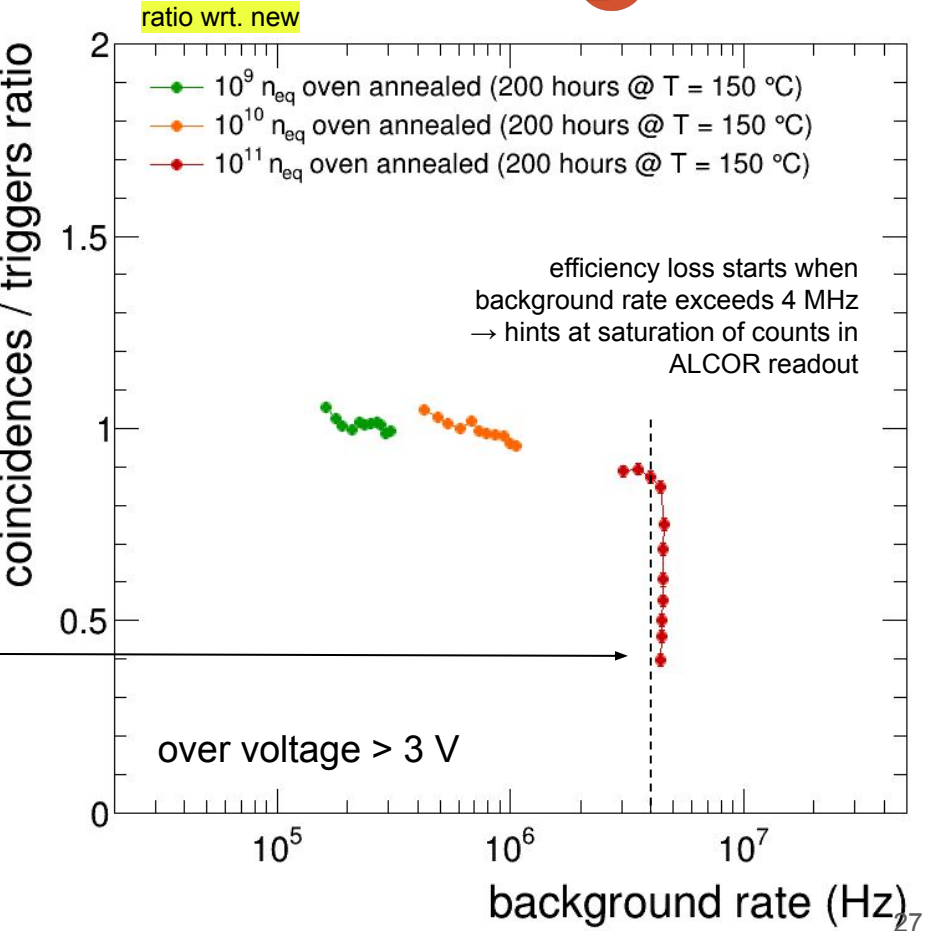
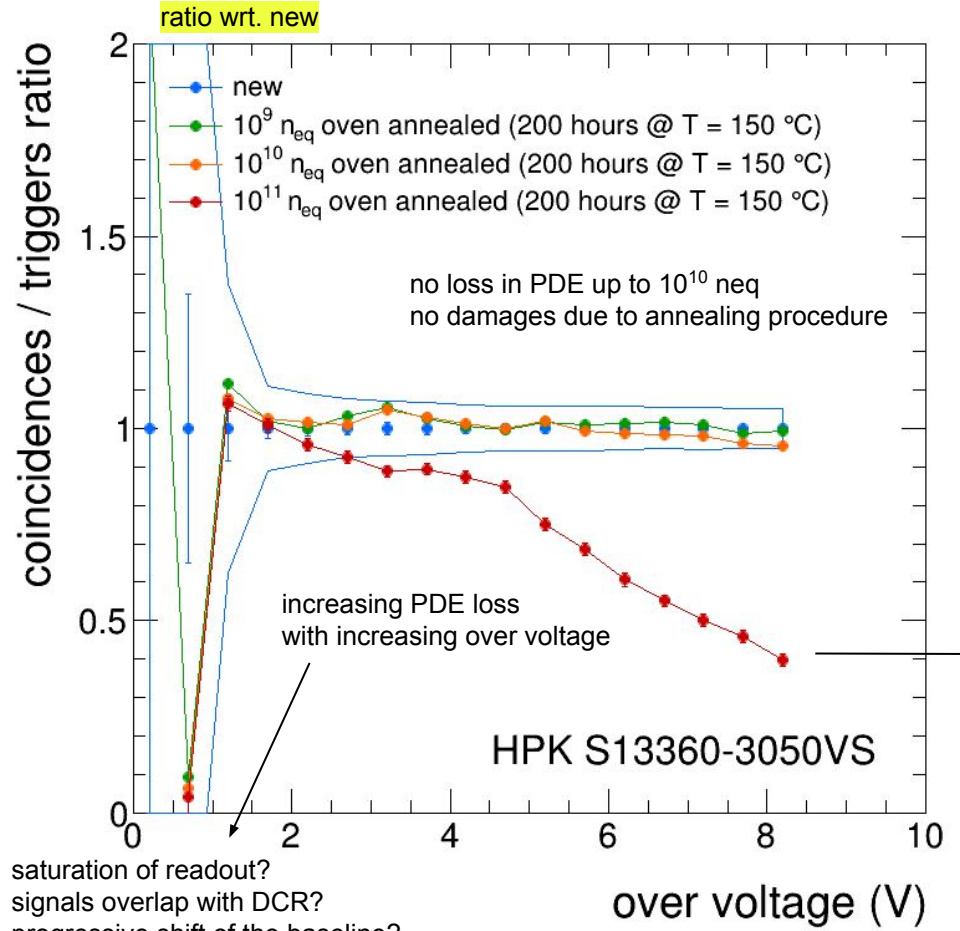
- **climatic chamber**
low-temperature operation
all reported measurements at $T = -30^\circ\text{C}$
- **arbitrary function generator**
pulse to LED and readout (trigger)
- **2x ALCOR-based front-end chain**
automatic measurement of 2x SiPM boards (64 channels)
- **FPGA (Xilinx) readout**



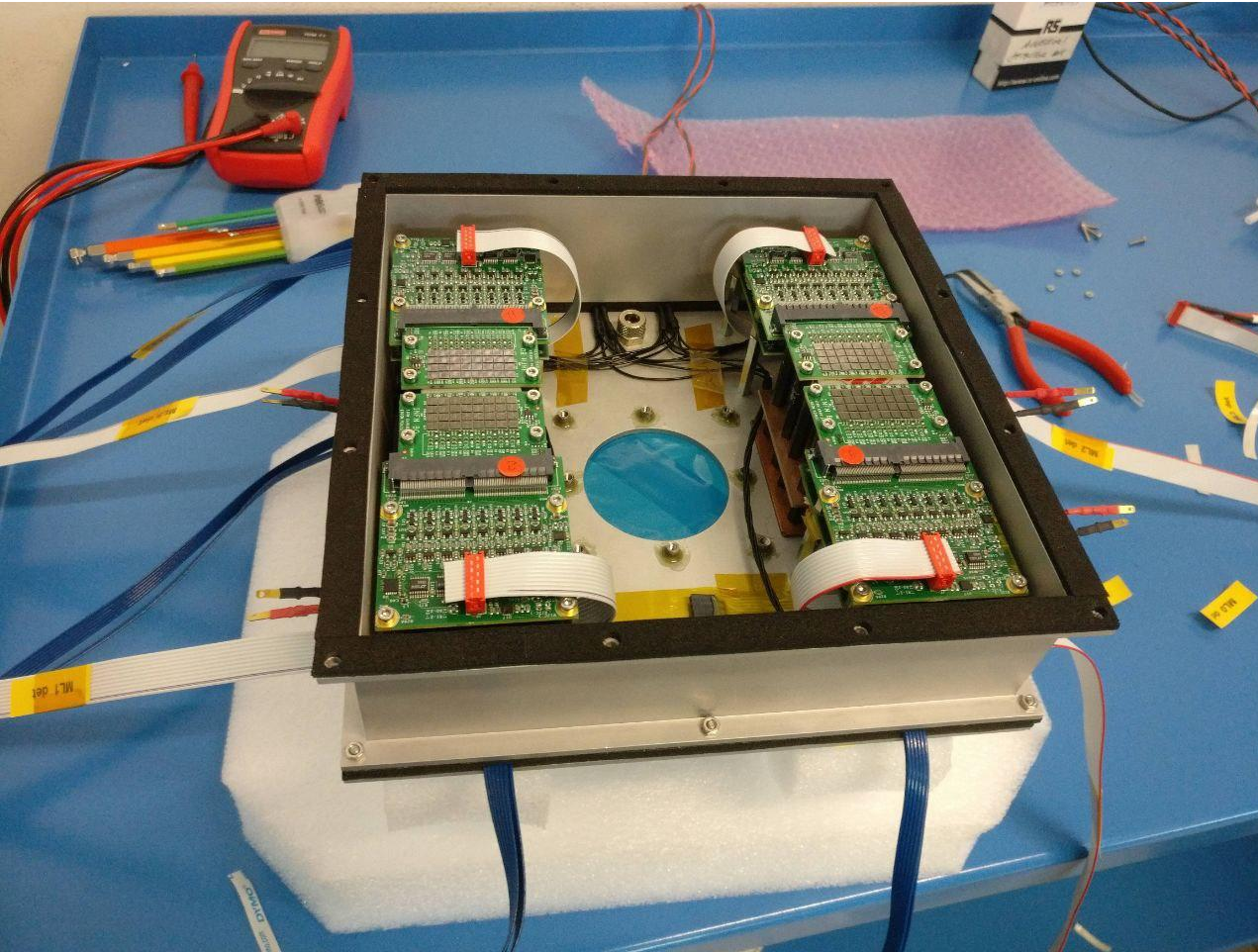
Light response with pulsed LED



Light response after irradiation and annealing



dRICH prototype SiPM readout box: test-beam preparation



thanks to L. Barion the dRICH prototype SiPM readout box is in Bologna

all services are available for commissioning before test-beam

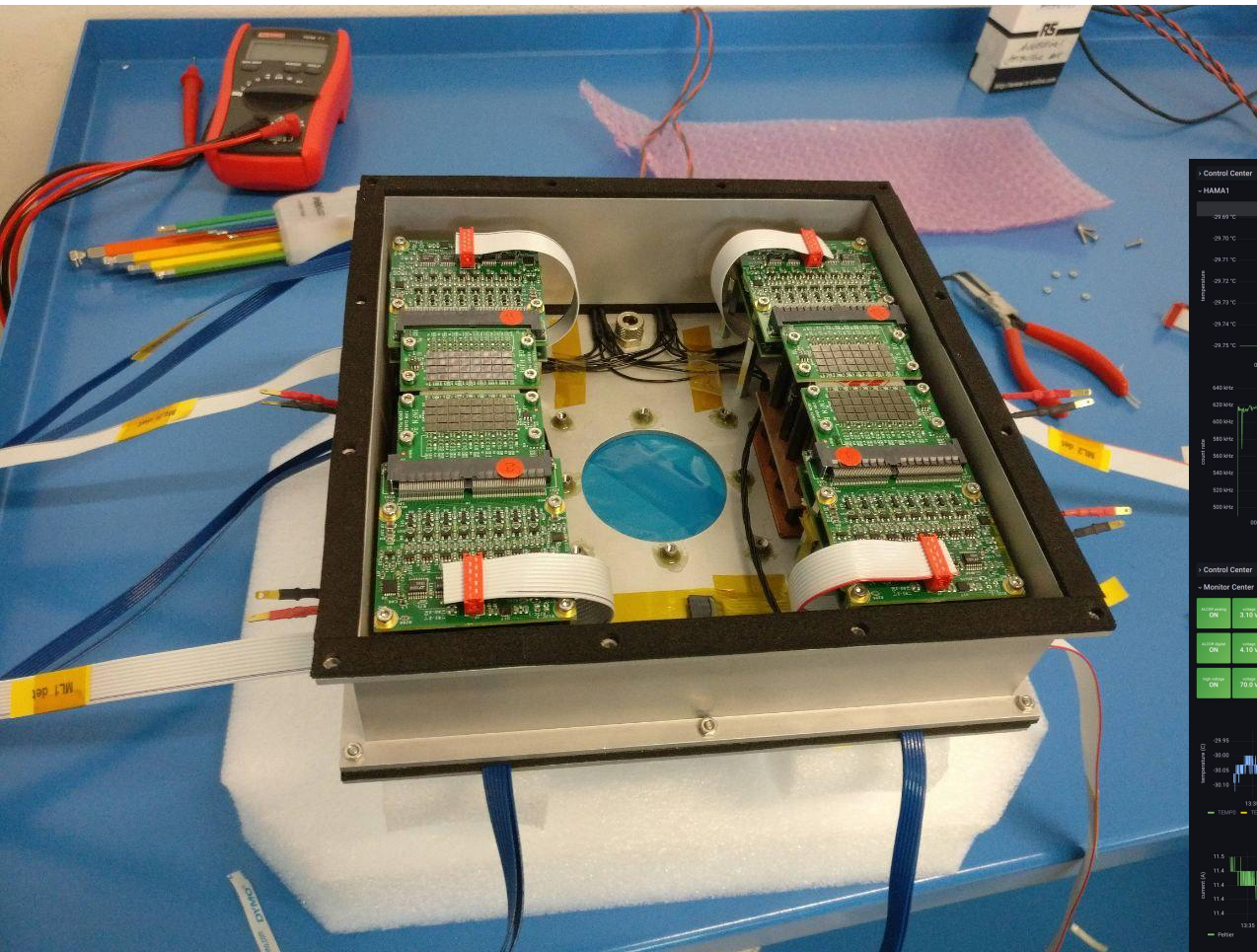
- water
- dry air
- power
- computing

a new setup for operation of SiPM in realistic conditions in preparation for test beams

fully operative since the end of May, commissioning ongoing

to be on the beamline with dRICH at PS

dRICH prototype SiPM readout box: test-beam preparation



ALCOR-SiPM readout box commissioning
online monitor of the full system



disseminazione

- meeting interni EIC_NET
- riunioni con management EIC
- **conferenze nazionali**
 - INFN 2022 CNS3 Workshop (N. Rubini, Bo)
 - Congresso Nazionale SIF 2022 (N. Rubini, Bo)
- **conferenze internazionali**
 - ICHEP 2022 (L. Rignanese, Bo)
 - NDIP 2022 (R. Preghenella, Bo)
 - RICH 2022 (R. Preghenella, Bo)

attività e richieste 2023

continuazione dell'attività di R&D su SiPM e ALCOR
a BO, FE e TO si aggiungono le unità di CS, CT e SA

ulteriore manpower per coprire la quantità di **lavoro e di studi che devono essere svolti**
richiede adeguate risorse finanziarie

Programma SiPM + ALCOR 2023

- **studiare migliore accoppiamento SiPM + ALCOR**
 - capacità
 - signal shaping
- **studiare risoluzione temporale SiPM + ALCOR**
 - ALCOR da solo
 - accoppiato a vari SiPM differenti
- **confronto SiPM raffreddati in camera climatica e con Peltier**
 - un esercizio che non abbiamo ancora fatto
 - anche con altre tecniche di raffreddamento
- **irraggiamento con protoni, neutroni e gamma**
 - finora fatto solo protoni
 - necessario valutare effetto neutroni
 - validità ipotesi NIEL
 - input per modello danno radiazione
 - possibile che anche i gamma siano “pericolosi”
 - calo PDE riportato da MEG2
- **esplorare diverse tecniche di raffreddamento**
 - raffreddamento con fluido a bassissima temperatura -40 C
 - raffreddamento ibrido, fluido -20 C e Peltier
- **esplorare e studiare diverse tecniche di annealing**
 - forno
 - corrente diretta, inversa
 - lampade infrarossi
- **studiare/risolvere problematiche di readout a flusso di dati elevato**
 - DCR molto elevato per DAQ
 - utilizzo trigger / segnale inhibit

necessità di

- acquistare nuovi sensori (10 K)
- sviluppare e produrre schede di elettronica (30 K)

sensori ed elettronica attualmente a disposizione non sufficiente per

- effettuare gli studi in programma
- permettere a tutte le unità partecipanti di contribuire efficientemente

fondi di consumo (10 K SiPM + 30 K elettronica) concentrati su BO per attività “core” congiunta

ulteriori fondi consumo/inventario richiesti dalle unità per acquisto strumentazione e inizio attività

necessario anche che fondi missione siano adeguati come da richieste per una collaborazione efficace

Qualcuno più nel dettaglio

- **studiare migliore accoppiamento SiPM + ALCOR**
 - capacità
 - signal shaping
- **studiare risoluzione temporale SiPM + ALCOR**
 - ALCOR da solo
 - accoppiato a vari SiPM differenti
- **confronto SiPM raffreddati in camera climatica e con Peltier**
 - un esercizio che non abbiamo ancora fatto
 - anche con altre tecniche di raffreddamento
- **irraggiamento con protoni, neutroni e gamma**
 - finora fatto solo protoni
 - necessario valutare effetto neutroni
 - validità ipotesi NIEL
 - input per modello danno radiazione
 - possibile che anche i gamma siano “pericolosi”
 - calo PDE riportato da MEG2
- **esplorare diverse tecniche di raffreddamento**
 - raffreddamento con fluido a bassissima temperatura -40 C
 - raffreddamento ibrido, fluido -20 C e Peltier
- **esplorare e studiare diverse tecniche di annealing**
 - forno
 - corrente diretta, inversa
 - lampade infrarossi
- **studiare/risolvere problematiche di readout a flusso di dati elevato**
 - DCR molto elevato per DAQ
 - utilizzo trigger / segnale inhibit

accessi sala sperimentale presso TIFPA-TN (10 K)

necessario per studi in programma per esplorare nuove e diverse tecniche di annealing

le premesse riportate negli studi preliminari 2022 su annealing in corrente sono molto promettenti e il fallimento di uno studio strutturato di questa modalità di annealing potrebbe avrebbe importanti ripercussioni sulle possibilità di descriverne i potenziali benefici nel (pre)TDR

accessi irraggiamento con neutroni LENA (4 K)

studi irraggiamento/danno da protoni devono essere confrontati con danno da neutroni. L'ipotesi dello scaling NIEL è nota non essere perfetta, inoltre i neutroni possono causare danni localizzati a “grappolo”. Si necessita ottenere dati anche sull'annealing dopo danno da neutrone, al momento.

i dati raccolti su danno da irraggiamento con neutroni e con protoni anche ad energie diverse da quelle già utilizzate costruire un modello realistico fondamentale da includere nel (pre)TDR sull'invecchiamento dei sensori e la progressione dei cicli di annealing.

Qualcuno più nel dettaglio

- **studiare migliore accoppiamento SiPM + ALCOR**
 - capacità
 - signal shaping
- **studiare risoluzione temporale SiPM + ALCOR**
 - ALCOR da solo
 - accoppiato a vari SiPM differenti
- **confronto SiPM raffreddati in camera climatica e con Peltier**
 - un esercizio che non abbiamo ancora fatto
 - anche con altre tecniche di raffreddamento
- **irraggiamento con protoni, neutroni e gamma**
 - finora fatto solo protoni
 - necessario valutare effetto neutroni
 - validità ipotesi NIEL
 - input per modello danno radiazione
 - possibile che anche i gamma siano "pericolosi"
 - calo PDE riportato da MEG2
- **esplorare diverse tecniche di raffreddamento**
 - raffreddamento con fluido a bassissima temperatura -40 C
 - raffreddamento ibrido, fluido -20 C e Peltier
- **esplorare e studiare diverse tecniche di annealing**
 - forno
 - corrente diretta, inversa
 - lampade infrarossi
- **studiare/risolvere problematiche di readout a flusso di dati elevato**
 - DCR molto elevato per DAQ
 - utilizzo trigger / segnale inhibit

acquisto laser impulsato pico/femto (15 K)

non è ancora stata studiata accuratamente la risposta e la risoluzione del sistema SiPM + ALCOR.

L'informazione accurata delle prestazioni temporali dei vari sensori scelti è fondamentale per le prestazioni generali del sistema, in quanto l'informazione temporale è da utilizzarsi per la soppressione del fondo sperimentale (dark counts e fondo di fisica).

per la stesura del (pre)TDR è necessario che le simulazioni del rivelatore siano accurate in tutti i dettagli, e pertanto la misura delle prestazioni temporali del sistema deve essere effettuata con particolare urgenza, pena la mancanza di informazioni accurate per le prossime simulazioni e stima delle prestazioni del rivelatore dRICH

Qualcuno più nel dettaglio

- studiare migliore accoppiamento SiPM + ALCOR
 - capacità
 - signal shaping
- studiare risoluzione temporale SiPM + ALCOR
 - ALCOR da solo
 - accoppiato a vari SiPM differenti
- confronto SiPM raffreddati in camera climatica e con Peltier
 - un esercizio che non abbiamo ancora fatto
 - anche con altre tecniche di raffreddamento
- irraggiamento con protoni, neutroni e gamma
 - finora fatto solo protoni
 - necessario valutare effetto neutroni
 - validità ipotesi NIEL
 - input per modello danno radiazione
 - possibile che anche i gamma siano "pericolosi"
 - calo PDE riportato da MEG2
- esplorare diverse tecniche di raffreddamento
 - raffreddamento con fluido a bassissima temperatura -40 C
 - raffreddamento ibrido, fluido -20 C e Peltier
- esplorare e studiare diverse tecniche di annealing
 - forno
 - corrente diretta, inversa
 - lampade infrarossi
- studiare/risolvere problematiche di readout a flusso di dati elevato
 - DCR molto elevato per DAQ
 - utilizzo trigger / segnale inhibit

acquisto sistema di raffreddamento chiller per bassissime temperature (11.5 K)

l'opzione di raffreddamento con TEC (Peltier) nell'esperimento non è chiaro sia un'opzione affidabile e percorribile nell'esperimento a EIC

necessario studiare se la risposta in DCR dei SiPM misurata in camera climatica è riproducibile con raffreddamento TEC per cui è necessario un sistema chiller per il raffreddamento delle Peltier.

chiller con liquido refrigerante ad alte prestazioni (raffreddamento fino a -20 / -40) permette di valutare ulteriori tecniche di raffreddamento e confrontarle (TEC , liquido , ibrido TEC + liquido)

in vista del (pre)TDR è rilevante che tutte le informazioni relative al sistema per come sarà proposto per l'esperimento siano a disposizione, pena l'incisività della proposta

Qualcuno più nel dettaglio

- **studiare migliore accoppiamento SiPM + ALCOR**
 - capacità
 - signal shaping
- **studiare risoluzione temporale SiPM + ALCOR**
 - ALCOR da solo
 - accoppiato a vari SiPM differenti
- **confronto SiPM raffreddati in camera climatica e con Peltier**
 - un esercizio che non abbiamo ancora fatto
 - anche con altre tecniche di raffreddamento
- **irraggiamento con protoni, neutroni e gamma**
 - finora fatto solo protoni
 - necessario valutare effetto neutroni
 - validità ipotesi NIEL
 - input per modello danno radiazione
 - possibile che anche i gamma siano "pericolosi"
 - calo PDE riportato da MEG2
- **esplorare diverse tecniche di raffreddamento**
 - raffreddamento con fluido a bassissima temperatura -40 C
 - raffreddamento ibrido, fluido -20 C e Peltier
- **esplorare e studiare diverse tecniche di annealing**
 - forno
 - corrente diretta, inversa
 - lampade infrarossi
- **studiare/risolvere problematiche di readout a flusso di dati elevato**
 - DCR molto elevato per DAQ
 - utilizzo trigger / segnale inhibit

acquisto sistema di precisione FPGA e clock generator (8.5 K)

l'attuale design ALCOR include già alcune funzionalità che consentono di implementare contromisure in grado di ridurre efficacemente il flusso di dati SiPM verso il DAQ inibendo il circuito discriminatore su richiesta mediante un segnale di ingresso ALCOR dedicato. È necessario testare se questa strategia può essere utilizzata ad alta frequenza (100 MHz)

Lo studio è di rilevanza per il (pre)TDR e le prestazioni della strategia di inibizione di ALCOR devono essere misurate con precisione e utilizzate nelle simulazioni delle prestazioni del sistema completo dRICH per il (pre)TDR

Collaborazione e joint R&D con FBK

- **collaborazione con FBK in essere sin dall'inizio**
 - forniti prototipi di sensori SiPM
 - varie discussioni con loro su risultati nostri studi
- **ottime prospettive per un R&D congiunto (convenzione INFN-FBK)**

richiesta joint engineering run (25 k)

sub-judice all'approvazione della Commissione Di Monitoraggio

- **ottimizzazione sensore “standard”**
 - riduzione DCR
 - incremento radiation tolerance
- **disegno e sviluppo di array di SiPM “monolitici” (4x4, 2x8)**
 - utilizzando wire-bonding (economico)
 - con ottimizzazione accettanza geometrica
- **esplorazione sensori di nuova frontiera con “microlensing”**
 - ridurre area sensibile
 - focalizzare i fotoni
 - con lentine
 - silicon-engineering
 - ridurre drasticamente DCR mantenendo PDE
 - ie. da $3 \times 3 \text{ mm}^2$ → a $30 \times 30 \text{ um}^2$
 - riduzione DCR di fattore 10k !
 - challenging R&D, with high return if successful